

УДК 539.017: 677.4

ВРЕМЕНА РЕЛАКСАЦИИ И ЗАПАЗДЫВАНИЯ У НЕТКАННЫХ МАТЕРИАЛОВ

В.Ю. МИШАКОВ, Н.А. МАКАРОВА, А.М. СТАЛЕВИЧ

(Московский государственный университет дизайна и технологии,
Санкт-Петербургский государственный университет технологии и дизайна)

В [1] на примере образцов нетканого термокрепленого полотна, обладающего хорошей воздухопроницаемостью, был изложен простейший способ моделирования физико-механических свойств нетканого материала в зоне неразрушающего механического воздействия методами наследственной механики. Было показано, что достаточно самым простым способом определить параметры релаксации – при деформации $\varepsilon = \text{const}$, чтобы с их помощью прогнозировать режимы сложной релаксации – когда $\varepsilon \neq \text{const}$. При этом с целью максимального упрощения расчетов было принято допущение, что при бесконечно длительном деформировании приложенное усилие отрелаксирует полностью. В случае линейной вязкоупругости подтвердить или опровергнуть это допущение с помощью непосредственных измерений практически невозможно.

В то же время указанное упрощение расчета релаксирующего напряжения при заданном режиме деформирования сопровождается затруднениями при решении обратной задачи, поскольку в определяющем уравнении наследственной механики [2]:

$$\varepsilon_t = E_0^{-1} \sigma_t + \int \sigma_{t-s} D'_s dS \quad (1)$$

сложняется аналитическое задание D'_s – ядра данного уравнения, которое является производной от функции податливости $\sigma^{-1} \varepsilon_t = D_t$, где σ – напряжение; ε_t – деформация; E_0 – модуль упругости.

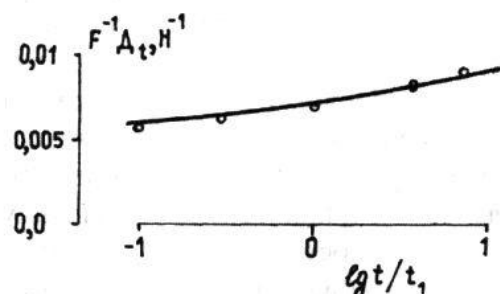


Рис. 1

Для преодоления этой трудности следует аппроксимировать экспериментально полученную функцию податливости нетканого материала, рассчитанную по семейству измеренных кривых ползучести и представленную на рис. 1, где линия – эксперимент, точки – расчет (ширина образца в виде полоски ткани составляла 10 мм; $t_1 = 1$ мин – базовое время).

Для этой цели в уравнении

$$E_t P^{-1} = F^{-1} D_t = F^{-1} E_0^{-1} + (F^{-1} E_\infty^{-1} - F^{-1} E_0^{-1}) \varphi_{st}, \quad (2)$$

где P – растягивающая сила; F – площадь поперечного сечения образца; E_∞ – равновесное значение модуля, применим следующие допущения.

Во-первых, зададимся значением равновесной вязкоупругой деформационной жесткости:

$$F E_\infty = C F E_0 = 0,25 F E_0, \quad (3)$$

где $C = E_\infty E_0^{-1}$.

Во-вторых, воспользуемся заданием нормированной функции ползучести по аналогии с релаксацией [1], [3]:

$$\varphi_{\sigma t} = [1 + (t / \tau_{\sigma})^{-A}]^{-1}, \quad (4)$$

где τ_{σ} – среднестатистическое время запаздывания при заданном значении напряжения σ .

В-третьих, воспользуемся равенством значений параметра A в нормированных функциях ползучести (4) и релаксации [1].

В первом варианте аппроксимации кривой, представленной на рис. 1, воспользуемся полученными ранее параметрами релаксации [1]:

$$FE_0 = 240 \text{ Н и } A = 0,25,$$

Таблица 1							
$t, \text{мин}$	0,1	0,25	0,5	1	2	4	8
$lg\tau_{\sigma}$	2,7	2,5	2,6	2,5	2,5	2,4	2,4
$F^{-1}D_t, \text{Н}^{-1}$ расчет	0,0056	0,006	0,0063	0,0066	0,007	0,0074	0,0078

Причина. Ср. $lg\tau_{\sigma} \approx 2,5; \tau_{\sigma} = 316 \approx 320 \text{ мин.}$

В табл. 1 помимо экспериментальных приводятся также значения податливости, вычисленные по (2) по полученным параметрам:

$$F^{-1}D_t = 0,0042 + 0,0126 [1 + (t / 320)^{-0,25}]^{-1}.$$

Близость к измеренным значениям подтверждает приемлемость используемых параметров.

Аналогичным образом осуществлялись уточнение среднестатистического времени релаксации:

$$lg\tau_e = lg t - A^{-1} \lg ((240 - FE_t) / (FE_t - 60)) \quad (6)$$

и проверочный расчет релаксирующей деформационной жесткости нетканого материала:

$$FE_t = 240 - 180 [1 + (t / 0,23)^{-0,25}]^{-1}. \quad (7)$$

а по принятому условию (3) получим

$$FE_{\infty} = 0,25 \cdot 240 = 60 \text{ Н.}$$

Для вычисления среднестатистического времени запаздывания из уравнения (2) с учетом (4) записываем формулу

$$\lg\tau_{\sigma} = \lg t - A^{-1} \lg ((F^{-1}D_t - 0,0042) / (0,0168 - F^{-1}D_t)). \quad (5)$$

Определение времени запаздывания по релаксационным характеристикам по (рис. 1) и формуле (5) при $FE_0 = 240 \text{ Н}; A = 0,25; c = 0,25$ представлено в табл. 1.

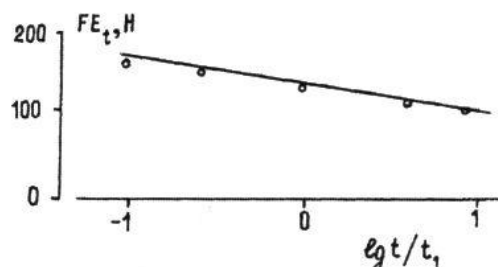


Рис. 2

На рис. 2 изображены экспериментально полученная кривая деформационной жесткости (линия) и расчетные точки. Уточненное значение времени релаксации составило ср. $lg\tau_e = -0,63 \approx -0,6; \tau_e = 0,23 \text{ мин.}$

Во втором варианте с помощью кривой на рис. 1 по среднему значению податливости

$$F^{-1}D_t = (0,0042 + 0,0168) / 2 = 0,0105 \quad (8)$$

рассчитываем $lg(\tau_{\sigma} / t_1) = 1,9$, то есть $\tau_{\sigma} \approx 80 \text{ мин.}$

Далее расчет производится по формуле, получаемой из (2) и (4):

$$A = \lg ((F^{-1}D_t - 0,0042) / (0,0168 - F^{-1}D_t)) / \lg (t / \tau_\sigma), \quad (9)$$

а также уточняются значения $F^{-1}D_t$ по формулам (2) и (4) с учетом нового значения A.

На рис. 1 точками показаны расчетные значения податливости $F^{-1}D_t$.

Далее по полученному значению $A = 0,33 \approx 1/3$ уточняется значение времени релаксации и осуществляется расчетная проверка по формуле

$$FE_t = 240 - 180 [1 + (t / 0,3)^{-1/3}]^{-1}.$$

На рис. 2 точками показаны рассчитанные значения FE_t при $A = 0,33$.

Во втором варианте аппроксимации получены более точные значения времен релаксации $\tau_\epsilon = 0,3$ и запаздывания $\tau_\sigma = 80$ мин при одних и тех же остальных параметрах: $FE_o = 240$; $FE_\infty = 60$ Н; $A = 1/3$.

Следует отметить, что соотношение $\tau_\sigma > \tau_\epsilon$ соответствует всевозможным механическим моделям вязкоупругих свойств [3] и тем самым свидетельствует о глубоком сходстве свойств модели и свойствами реального материала.

Состоявшееся «сближение» параметров релаксации и запаздывания не противоречит действенности наследственной взаимосвязи этих двух процессов:

$$E_o D_t + \int_0^t D_{t-s} E'_s dS = 1, \quad (10)$$

которая была подтверждена расчетом по непосредственно измеренным процессам релаксации и ползучести [1]. После того, как стали известны параметры податливости, ту же самую взаимосвязь (10) можно

$$\int_0^t \varphi_t dt = 3\tau_\epsilon \left\{ \frac{1}{3}(t/\tau_\epsilon)^{+1} - \frac{1}{2}(t/\tau_\epsilon)^{2/3} + (t/\tau_\epsilon)^{1/3} - \ln \left[1 + (t/\tau_\epsilon)^{1/3} \right] \right\}. \quad (13)$$

Формулы (13) и (12) заметно облегчают прогнозирование равномерного растяжения, то есть диаграммы растяжения при заданной скорости деформирования. Облегчается также процедура дальнейшего уточнения параметров модели – если воз-

проконтролировать и по выражению

$$E_o^{-1} E_t + \int_0^t E_{t-s} D'_s dS = 1, \quad (11)$$

получаемому из уравнения (1) при $\varepsilon_t = \text{const}$.

Как и в расчетах по (10), в данном случае отклонения от единицы оказались небольшими. Из этого следует, что достигнутое предельное упрощение математической модели вязкоупругих свойств не противоречит представлению об идентичности микромеханизмов релаксации при различных режимах деформирования. Вместе с тем допустимость отклонения от единицы в условии (10) или (11) в пределах $\pm 5\%$ приводит к значительному упрощению наследственно-вязкоупругих характеристик.

Произведенное уточнение значения A как параметра формы релаксационного спектра [3] не приводит к усложнению аналитического описания диаграммы равномерного растяжения, которое рассматривалось в [1].

В уравнении диаграммы

$$\begin{aligned} \sigma_t &= E_o \varepsilon_t - (E_o - E_\infty) \dot{\varepsilon} \int_0^t \varphi_t dt = \\ &= \varepsilon_t [E_o - (E_o - E_\infty) t^{-1} \int_0^t \varphi_t dt] \end{aligned} \quad (12)$$

при значении $A = 1/3$ интеграл берется точно [4]:

никает такая необходимость – посредством сопоставления прогнозируемых диаграмм с экспериментальными.

ВЫВОДЫ

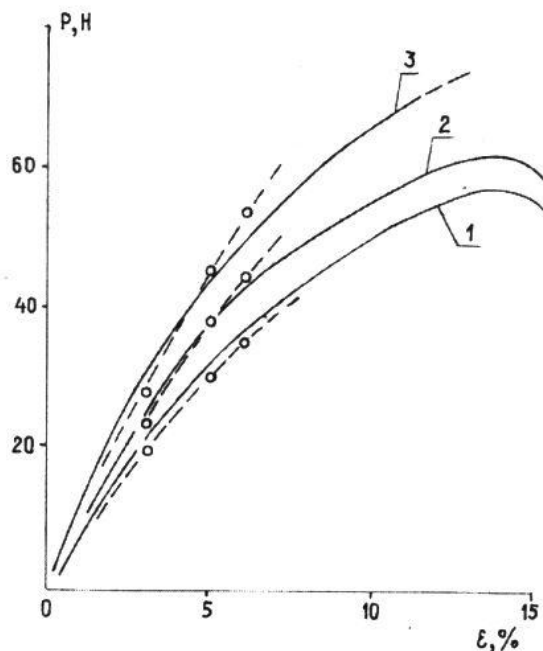


Рис. 3

На рис. 3 представлены экспериментальные (линии) и расчетные (точки) диаграммы растяжения при различных скоростях $\dot{\varepsilon} = 0,005 \text{ мин}^{-1}$ (1); $\dot{\varepsilon} = 0,05 \text{ мин}^{-1}$ (2); $\dot{\varepsilon} = 0,5 \text{ мин}^{-1}$ (3); пунктир – рассчитанные диаграммы.

С точки зрения физической интерпретации спектров, содержащихся в предлагаемой предельно упрощенной модели, распределение релаксирующих частиц по собственным временам релаксации отличается от их распределения по временам запаздывания только соответствующими среднестатистическими значениями времени релаксации и времени запаздывания. Можно предположить, что такое «сближение» ядер релаксации и запаздывания (ползучести) окажется применимым также и к другим полимерным материалам и композитам.

1. При математическом моделировании вязкоупругих свойств нетканого материала в качестве наследственных ядер релаксации или запаздывания оказалось возможным использование одинаковых элементарных степенных функций, отличающихся только среднестатистическими временами релаксации и запаздывания.

2. Проиллюстрированы конкретные методики расчета физически обоснованных деформационных характеристик как параметров математической модели.

3. Анализ взаимосвязи процессов релаксации и ползучести, прогнозирование диаграмм растяжения подтвердили представление о наследственном характере деформационных характеристик и тем самым о возможности прогнозирования еще более сложных процессов релаксации или ползучести.

ЛИТЕРАТУРА

1. Мишаков В.Ю., Случкер Г.Я., Сталевич А.М. Моделирование физико-механических параметров качества полимерных нетканых материалов // 3-я Междунар. научн.-практ. конф.: Качество полимерных материалов и изделий: инновация, сертификация, контроль. – С.-Петербург, 2003. С. 42.

2. Алфрей Т. Механические свойства высокополимеров. – М.: Наука, 1970.

3. Сталевич А.М. Деформирование ориентированных полимеров. – С.-П., РИЦ СПГУТД, 2002.

4. Двайт Г.Б. Таблицы интегралов. – М. 1978.

Рекомендована кафедрой сопротивления материалов СПГУТД. Поступила 01.04.04.